

Fig. 1 (Watanabe et al)

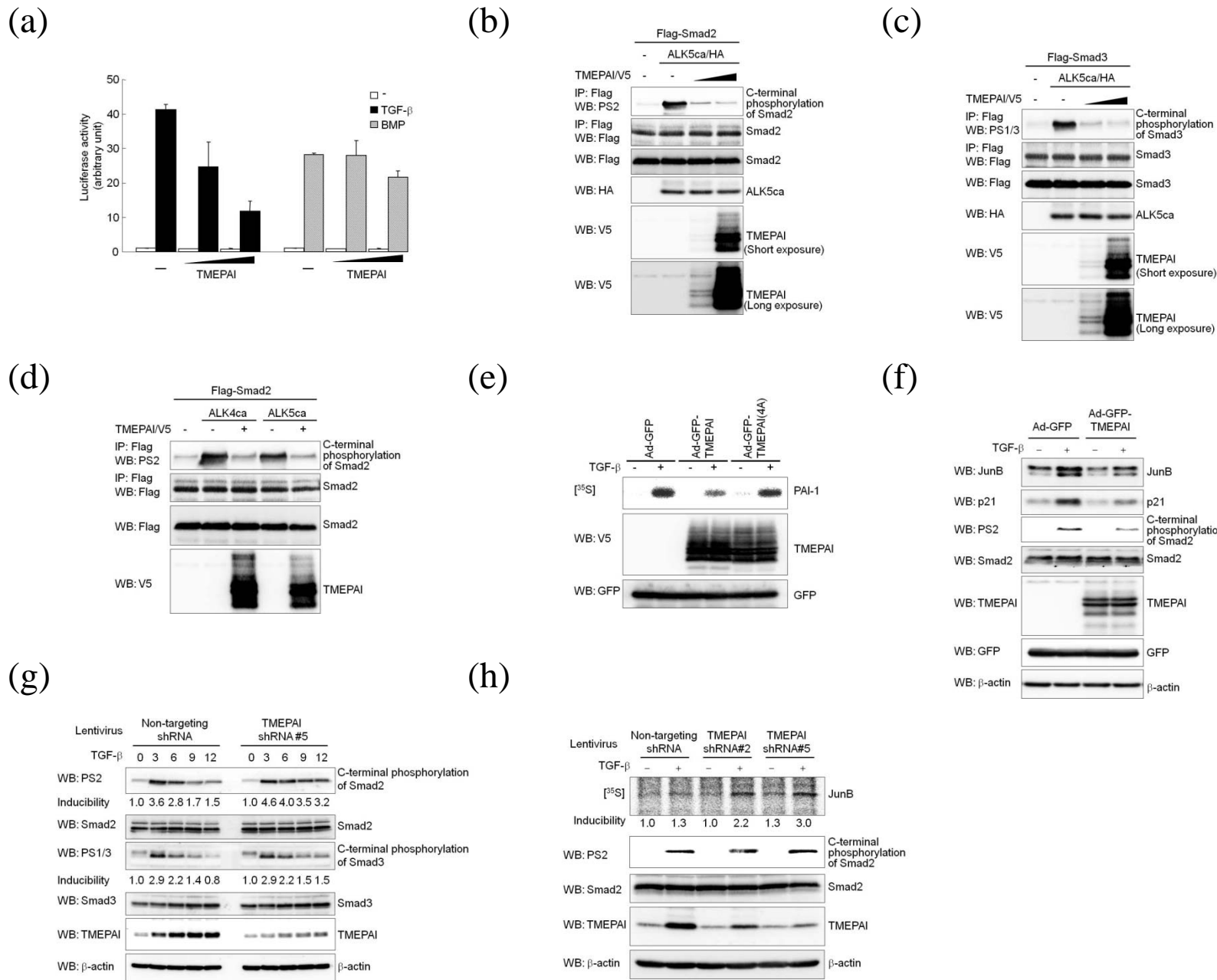
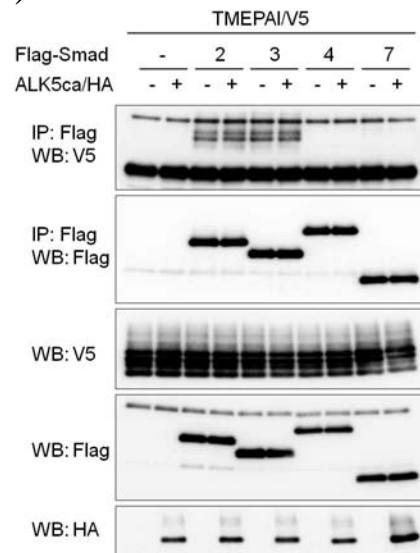
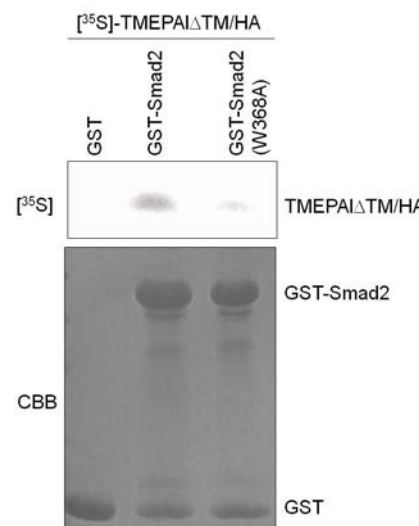


Fig. 2 (Watanabe et al)

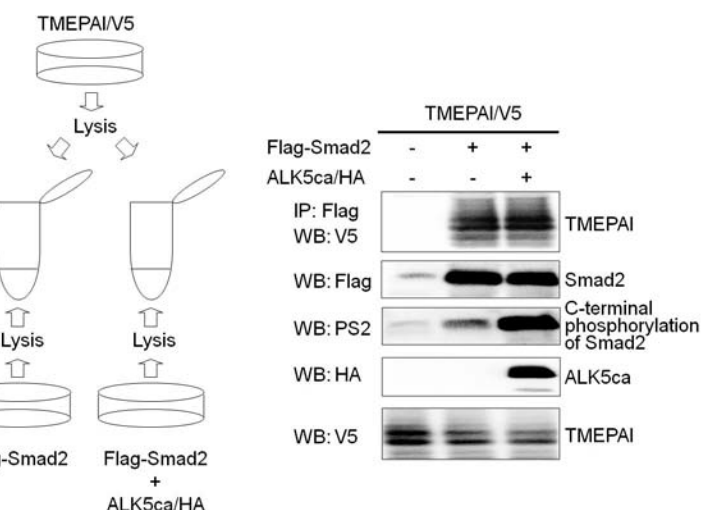
(a)



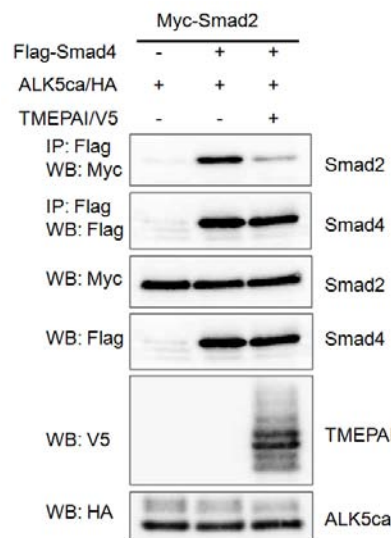
(b)



(c)



(d)



(e)

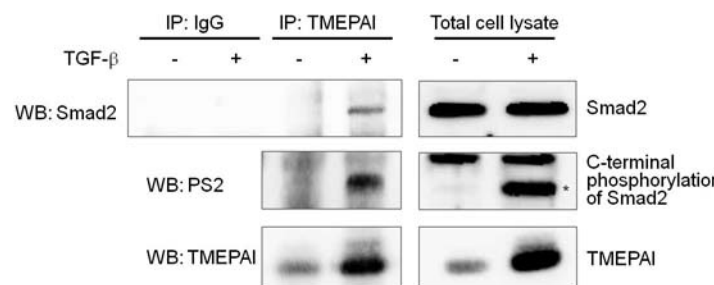
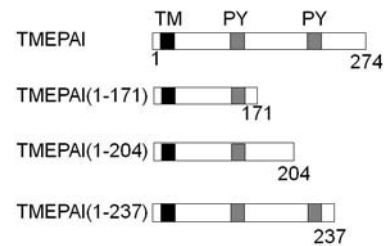
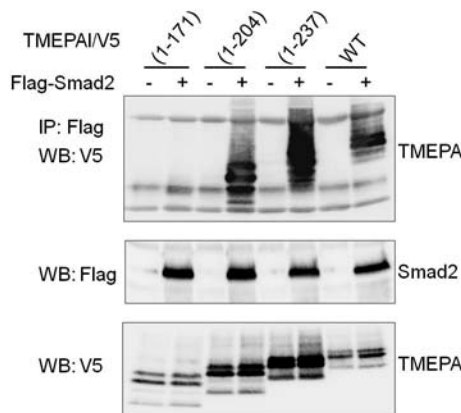


Fig. 3 (Watanabe et al)

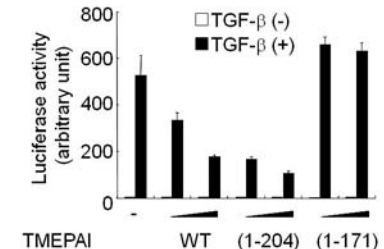
(a)



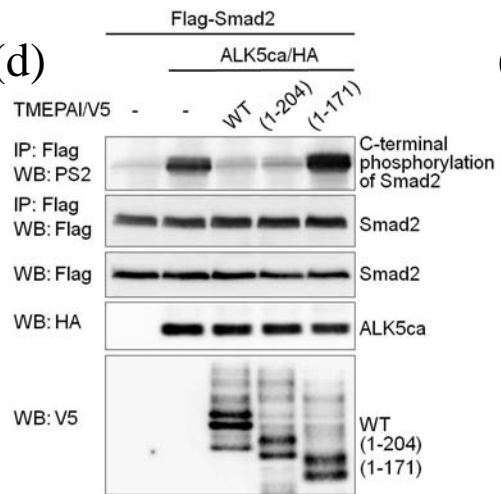
(b)



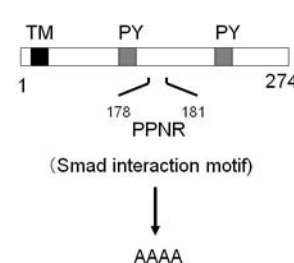
(c)



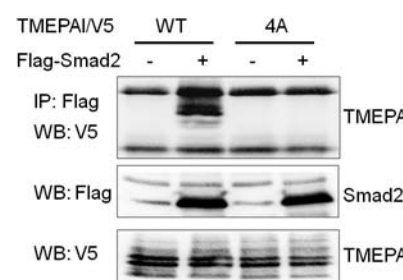
(d)



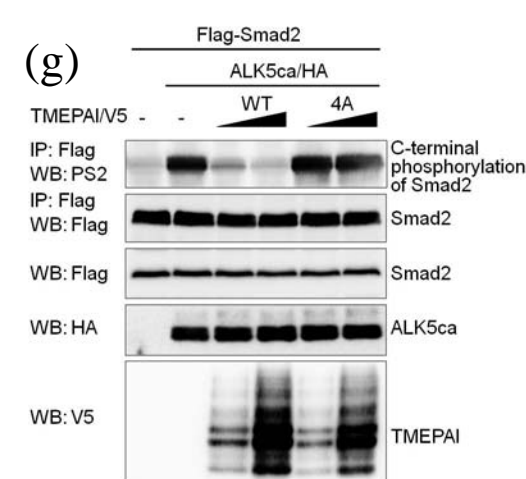
(e)



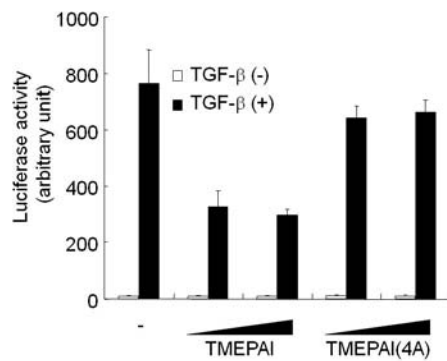
(f)



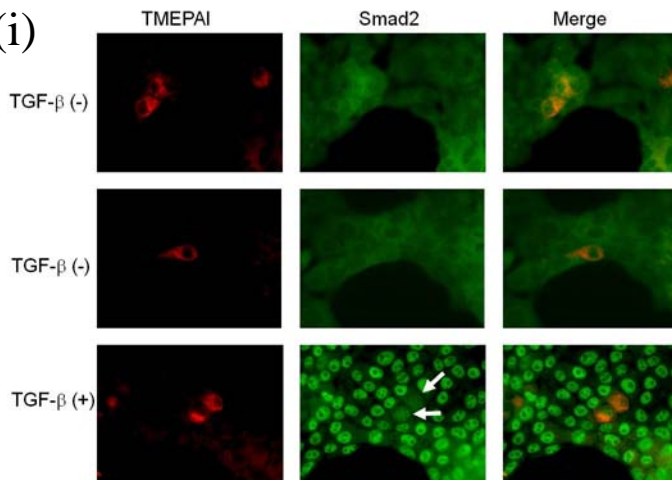
(g)



(h)



(i)



(j)

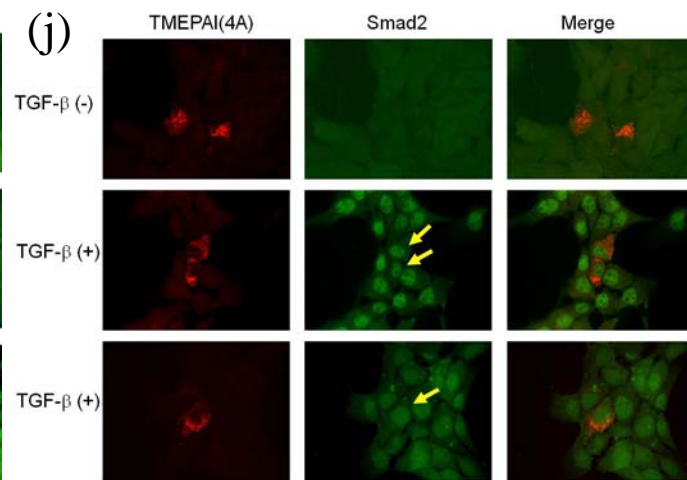
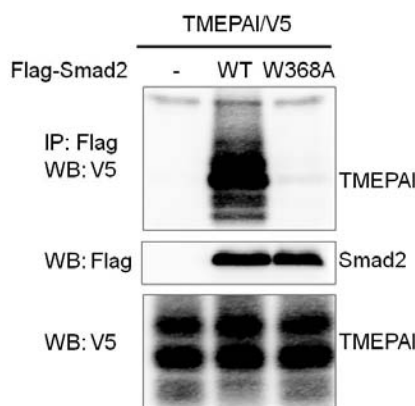
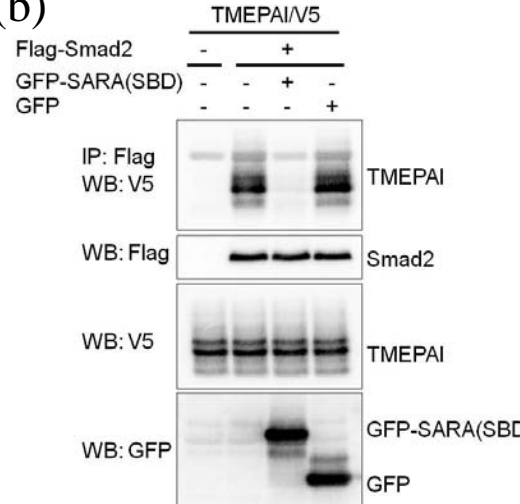


Fig. 4 (Watanabe et al)

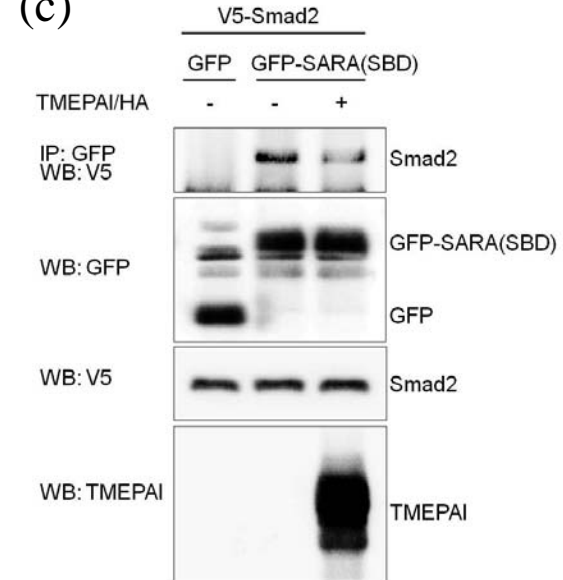
(a)



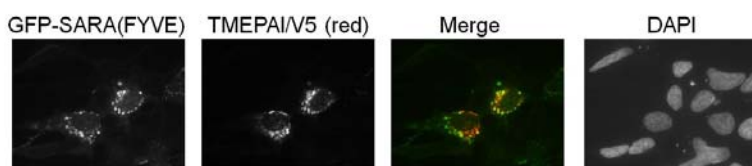
(b)



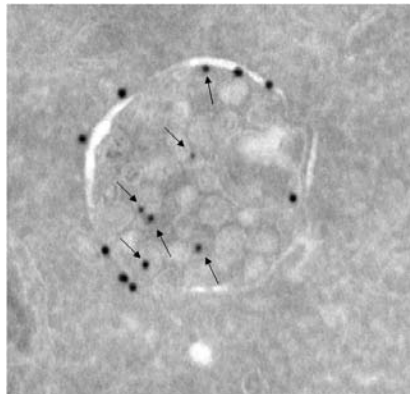
(c)



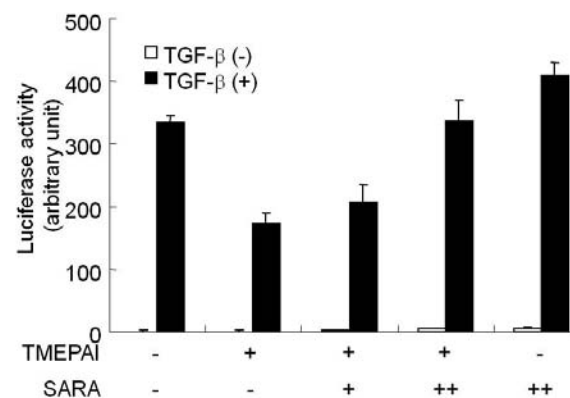
(d)



(e)



(f)



(g)

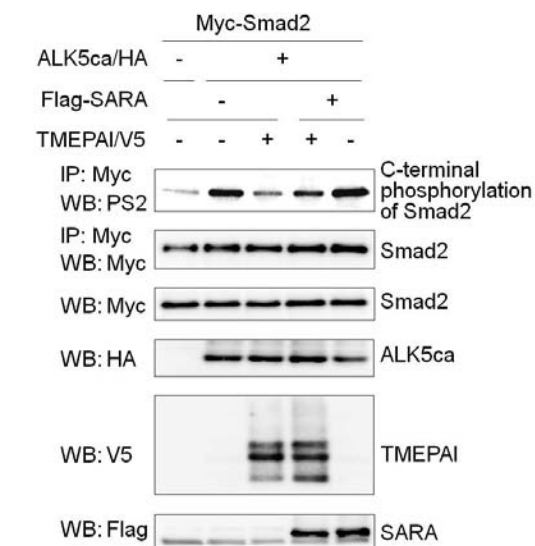
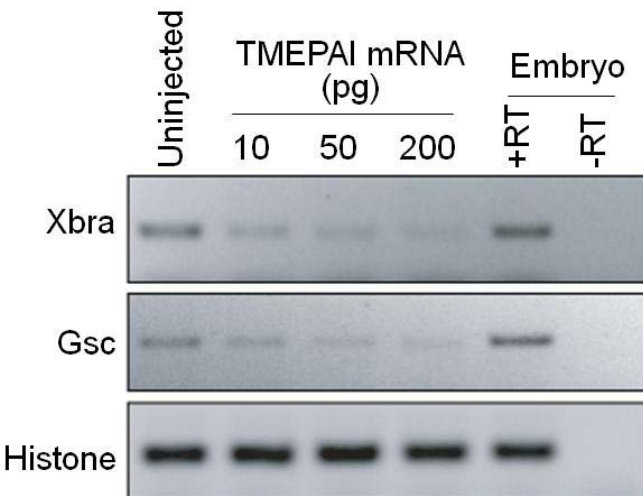


Fig. 5 (Watanabe et al)

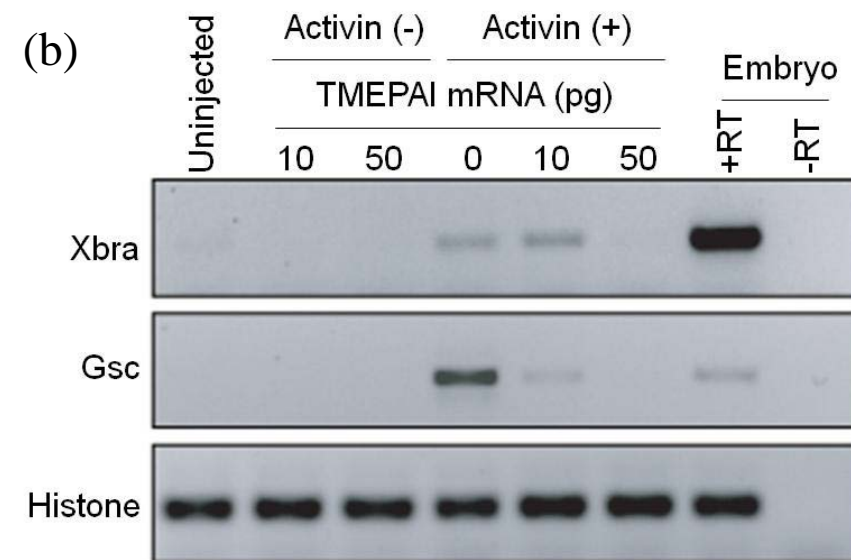
(a)



(c)



(b)



(d)

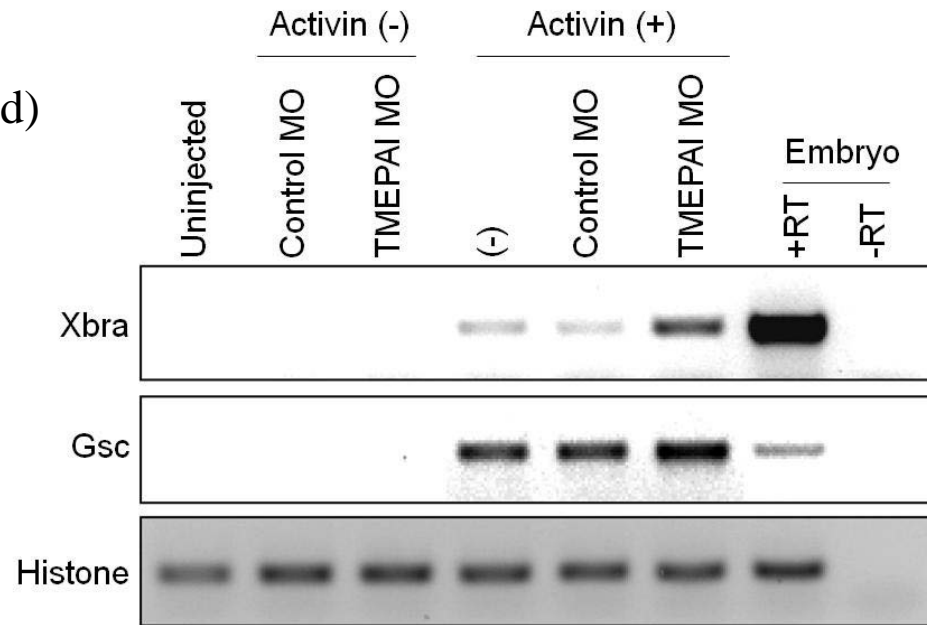


Fig. 6 (Watanabe et al.)

